

A.18
Ч1
И Н С Т И Т У Т
ЯДЕРНОЙ ФИЗИКИ СОАН СССР

ПРЕПРИНТ 355

А.А.Лвдиенко

ЛОКАЛЬНЫЙ ВЗРЫВ АНОДА И ВАКУУМНЫЙ
ПРОБОЙ

Новосибирск

1969

А. А. Авдиенко

ЛОКАЛЬНЫЙ ВЗРЫВ АНОДА И ВАКУУМНЫЙ ПРОБОЙ

Рассмотрено условие локального взрыва анода автоэлектронным пучком с катода. Проведено сопоставление расчётных данных с некоторыми экспериментальными результатами в предположении возможности вакуумного пробоя в результате локального взрыва анода.

В настоящее время наиболее вероятными процессами инициирования импульсного пробоя вакуумных промежутков представляются: локальный разогрев анода автоэмиссионным током и взрыв его, разогрев эмиттирующего участка катода и взрыв его. При пробое на постоянном напряжении и на импульсах с длительностью фронта больше 100 нсек и малым перенапряжением к упомянутым эффектам добавляются и другие / 1,3 /.

В настоящей работе приведены некоторые расчёты, проделанные с целью выяснения условия взрыва анода автоэмиссионным током с остряя на катоде как возможного процесса инициирования вакуумного пробоя.

1. Плотность эмиссионного тока на аноде

Для описания процессов, связанных с автоэмиссионным током, естественно, необходимо определение распределения плотности тока вблизи эмиттера и на аноде. Рассмотрим в качестве эмиттера одиночный выступ на катоде. Рельеф реального катода представляет собой хаотический ансамбль выступов с различной высотой, радиусом кривизны и углом раствора конуса. Однако, всегда можно ввести некоторую эффективную поверхность катода и относительно неё рассмотреть одиночный выступ. При этом форму поля, создаваемую таким выступом, можно рассчитать аппроксимировав выступ полуэллипсоидом вращения / 4 /. Лучшее приближение можно получить, представляя выступ в форме усечённого конуса со сферическим закруглением / 5 /.

Для определения распределения плотности тока в электролитической ванне посредством моделирования на клине были сняты потенциальные картины для остряй с различными углами раствора конуса, высотой и радиусами закруглений. Поле в зазоре при этом предполагалось однородным начиная с расстояния $3h$ (h - высота выступа) от эффективной поверхности катода.

Траектории электронов построены в области неоднородного поля графоаналитически методом Гейпа в предположении нерелятивистских скоростей, малости пространственного заряда пучка и тепловых скоростей электронов (рис.1). Построения проводились для различных углов вылета электронов α в пределах $0 < \alpha < \alpha_{2p}$. α_{2p} определялся по потенциальной

картины при спадении коэффициента усиления поля M на 20%.

В результате таких построений найдено, что координата влёта электрона в область однородного поля уже на расстоянии $2.5h$ от катода линейно зависит от угла вылета его из эмиттера в указанной области углов вылета. В то же время $d\alpha/dz$ при $\gamma = 2.5h$ имеет более сложную зависимость от угла вылета электрона, но её можно аппроксимировать с точностью $\sim 15\%$ (рис.2).

Координата электрона на аноде в зависимости от угла вылета его из эмиттера в нерелятивистском случае равна

$$r_a = (2.2\sqrt{hd} + 1.5h)\alpha \quad (1)$$

где d — зазор между электродами.

Эта формула даёт хорошее согласие с формулами / 8 / при зазорах $d \gg h$, т.е. в пренебрежении уширением пучка в области неоднородного поля, и с / 9 / в пренебрежении действием пространственного заряда.

Распределение плотности тока легко получить использовав результаты графоаналитических построений

$$j_a = j_\vartheta \frac{\sin \alpha}{r_a \cdot 1.5h} \quad (2)$$

Пронормируем на плотность тока при

$$j_a^* = j_\vartheta^* \frac{\sin \alpha}{\alpha} \quad (3)$$

Для определения $j_\vartheta(\alpha)$ необходимо знать $M(\alpha)$. Моделирование показало, что в случае конического выступа на поверхности плоского электрода приближение с ошибкой $< 5\%$ даёт формула $M(\alpha)/M_0$, использованная в работе / 5 /. В области $0 < \alpha_{cr} < \alpha_{rp}$ и вблизи поверхности это соотношение можно упростить

$$\frac{M(\alpha, z)}{M_0} = \sqrt{\left[\frac{M(0, z)}{M_0} P_k(\alpha) \right]^2 + \left[\frac{z - z_0}{z} \frac{P'_k(\alpha)}{P_k(\alpha)} \right]^2} \approx P_k(\alpha) \quad (4)$$

где k выбирается таким образом, чтобы функция Лежандра $P_k(\alpha)$ обращалась в нуль в точке A рис.1. $j_\vartheta(\alpha)$ можно определить, воспользовавшись общим выражением для эмиссионного тока / 6 /

$$j = \frac{1}{2} [\Phi(x_1) + \Phi(x_2)] 4.65 \cdot 10^{12} E \exp\left[-\frac{1.16 \cdot 10^4}{T} + \frac{4.25 E^2}{T^3} \Theta(2)\right] + \quad (5)$$

$$+ Q \frac{4.15 \cdot 10^8}{\varphi \cdot t^2(y)} E^2 \exp\left[-\frac{2.34 \cdot 10^5 \varphi^{3/2} \Theta(4)}{E}\right] [CGSE]$$

Первая часть этого соотношения даёт больший вклад при

$T > 3.34 \cdot 10^{-2} \frac{E}{t(y) \varphi^{1/2}}$, а вторая часть представляет собой модифицированное уравнение Фамлера-Нордгейма и даёт больший вклад при $T < 3.34 \cdot 10^{-2} E/t(y) \sqrt{\varphi}$. Так как температура плавления многих металлов ниже величины $3.34 \cdot 10^{-2} E/t(y) \sqrt{\varphi}$ при напряженности поля $E > 2 \cdot 10^7$ в/см в основном дальнейшее рассмотрение будет вестись для второй части уравнения (5), в которой функции $t(y)$ и $\Theta(y)$ / 6 / будем полагать ~ 1 .

Таким образом, получаем

$$j_a^* = \frac{\mu^2}{M_0} \frac{\sin \alpha}{\alpha} \exp\left[\frac{2.34 \cdot 10^5}{M_0 E} \varphi^{3/2} \left(1 - \frac{M_0}{M}\right)\right] \quad (6)$$

Оценим изменение распределения плотности тока на аноде при изменении напряженности поля в зазоре. Полагая $\frac{\sin \alpha}{\alpha} \approx 1$ в диапазоне $0 < \alpha < \alpha_{rp}$ и учитывая (1) достаточно оценить поведение функции $P_k(\alpha)$ с изменением напряженности поля при тех значениях α , при которых $j_a^* = 0.5$.

$$0,5 = P_k^2(\alpha) \exp \left[\frac{2,34 \cdot 10^5 \varphi^{3/2}}{\mu_0 E} \left(1 - \frac{1}{P_k(\alpha)} \right) \right]$$

Логарифмируя и разлагая $\ln P_k(\alpha)$ в ряд вблизи

$P_k(\alpha) \approx 1$ находим

$$P_k(\alpha) = \frac{3,3 + \sqrt{(4,68 \cdot 10^5 \varphi^{3/2})^2 - 11}}{2(4,7 + \frac{2,34 \cdot 10^5 \varphi^{3/2}}{\mu_0 E})} \quad (7)$$

Из полученного соотношения видно, что при всех постоянных параметрах область анода, эффективно бомбардируемая электронами растёт с увеличением напряженности поля в зазоре (рис.3).

П. Условие локального взрыва анода

Воспользовавшись выражениями (5,6) можно определить поверхностную плотность энергии, переносимой электронным пучком на анод

$$W_s = \int j_a \cdot U \cdot dS$$

где U - межэлектродное напряжение. Для упрощения заменим распределение тока (6) прямоугольным с радиусом $r_a = 0,5 d_a$

$$W_s = Q \mu_0^2 \frac{4,15 \cdot U^3 \cdot 10^8}{\varphi d^2} \exp \left[- \frac{2,34 \cdot 10^5}{\mu_0 E} \varphi^{3/2} \right] \quad (8)$$

Объёмную плотность энергии, выделяемой электронным пучком в толще вещества анода можно записать как

$$W = \mathcal{W}(x) W_s$$

где $\mathcal{W}(x) = 1 - \eta(x) \cdot \xi(x)$ - нормированная функция потерь энергии электроном в толще вещества

$$X = \frac{x}{d}$$

- нормированная координата /7/.

В свою очередь $X = C \cdot U_0^n$; $\eta(x) = \exp[-x^P]$
 $\xi(x) = \exp[-\Delta x^S]$. Значения эмпирических констант C, n, ρ, A, S - для различных металлов в области энергий 1-100 кэв приведены в /7/. В случае меди они равны $S = 0,9$; $\Delta = 0,95$; $P = 2$; $n = 1,53$; $C = 6,8 \cdot 10^{-7}$ см; U_0 кэв/. При энергиях выше 100 кэв более точное соответствие с экспериментом даёт формула Томсона-Виддингтона, имеющая вид

$$X = \frac{U_0^2}{2a} : 2a = 3,6 \cdot 10^{12} \text{ эв}^2/\text{см} = \frac{1}{C} \text{ для меди.}$$

Определяя глубину равнотемпературного слоя как

$$x \approx X = C U_0^n \quad /7/ \text{ имеем}$$

$$W = \frac{W_s}{C U_0^n}$$

Теперь запишем условие локального взрыва объёма материала анода с теплотой парообразования Ω и плотностью ρ

$$W t > \Omega \rho$$

За характерное время t примем время, за которое тепловой фронт может распространиться на глубину X , т.к. $X < r_a$

$$t = \frac{X^2}{4D}$$

где D - коэффициент температуропроводности.

Таким образом, выражение

$$\frac{4,15 \cdot 10^8 Q \cdot \mu_0^2 \cdot C \cdot E^{3+n} \cdot d^{1+n}}{4 D \varphi} \times$$

$$X \exp \left[- \frac{2,34 \cdot 10^5}{\mu_0 E} \varphi^{3/2} \right] \geq \Omega \rho \quad (10)$$

определяет ту величину U при заданном d и определённых материалах анода и катода, ниже которой взрыв анода невозможен (рис.4).

III. Локальный взрыв анода как инициатор вакуумного пробоя

Соотношение (10) определяет условие взрыва только с учётом Q (6), M_0 и φ .

При пробоях на постоянном напряжении или на импульсах с длинным фронтом в связи с разогревом излучающих выступов, перестройкой микроструктуры поверхности катода под действием приложенного напряжения Q растёт (повышение температуры /6/), M_0 растёт (вытягивание острый /3/), а φ также может меняться в некоторых пределах за счёт изменения поверхностного адсорбированного слоя /3/. Кроме этого следует учесть разогрев катода ионной бомбардировкой, сопутствующей электронной эмиссии, возможность уширения пучка электронов за счёт рассеяния на остаточном газе в области давлений $10^{-6} - 10^{-3}$ тор и условие создания достаточной плотности вещества анода в зазоре при больших межэлектродных расстояниях.

Как видно из соотношения (10), в случае локального взрыва анода как инициатора вакуумного пробоя, зависимость пробившего напряжения от величины межэлектродного зазора несколько сложнее приближённого выражения $U_{n\beta} \approx d^m /2$. Полученные ранее различные значения m из опытов, охватывающих небольшие диапазоны напряжений и зазоров, могут быть в каждом случае некоторым приближением соотношения (10), и, следовательно, величина m должна зависеть от материала анода (Ω , ρ , C , D , n), материала, способа обработки, тренировки и температуры катода (Q , M , φ) и напряжения на зазоре (n).

Для получения наибольшей электрической прочности вакуумного промежутка согласно (10) материал анода следует выбирать из условия максимальности $\Omega\rho D/C$ и минимальности n . Поскольку величина n известна не для всех материалов и напряжений, воспользуемся значением $n=2$, т.е. законом Виддингтона-Томсона для поглощения энергии электрона в

металлах. Сопоставляя различные металлы, можно получить ряд по наибольшей прочности при использовании этих металлов в качестве анода при одинаковых условиях. Для некоторых металлов эта последовательность следующая:

$W, Ag, Mo, Cu, Ni, Fe, Al, Pb$.

Введём величину качества

$$K = U_{\text{мет}}/U_{\text{Pb}}$$

и запишем эти величины для полученного ряда.

2,05; 1,82; 1,71; 1,46; 1,27; 1,26; 1,246; 1.

Поскольку известные нам измерения проводились для металлов, стоящих близко друг от друга в ряду прочности и условия опытов менялись от измерения к измерению, сопоставление вышеприведенного ряда с экспериментальными результатами несколько затруднительно, хотя качественное и некоторое количественное совпадение есть /3, 11/.

Существенная неподобаимость результатов возможна также из-за различия условий обработки анода. Действительно, если в случае электрохимической обработки анода мы имеем дело с чистым металлом с известными свойствами, то в большинстве случаев механической обработки поверхностный слой представляется собой очень мелкокристаллическую структуру, физические свойства которой сильно отличаются от свойств чистого металла.

Выбор металла катода и условий его обработки определяются максимумом величины φ/m^2 . Для возможности протекания процессов, связанных с автоэлектронной эмиссией, необходимо сильное локальное изменение работы выхода и локальное увеличение напряженности поля ~ 100 в той же точке катода. Однако, в известных нам работах нет достаточно точного определения этих величин в условиях вакуумного пробоя.

Одной из возможностей определения величины M может послужить измерение размеров кратера на подвижном аноде при пробое за коротких (~ 40 нсек) импульсах. В этом случае при хорошем согласовании электрической цепи можно пренебречь оплавлением кратера током дуги и затем, воспользовавшись соотношением (7) найти M .

Проведенные нами предварительные опыты показали, что

действительно, размер кратера растёт с ростом напряженности поля в зазоре постоянной длины до некоторой величины, после чего практически перестаёт меняться. Одновременно начинает увеличиваться количество кратеров, что указывает на рост числа эмиссионных центров. При перенапряжениях ~ 2 число эмиссионных центров ~ 10 .

Однако количественное определение M оказалось затруднительным из-за непрерывно меняющихся условий на катоде.

Качественное согласие экспериментальных данных и условия взрыва (10) даёт некоторые основания считать локальный взрыв анода автоэмиссионным током возможным процессом инициирования вакуумного пробоя. Однако зависимость M и φ от условий разрядного промежутка изучена недостаточно, что создаёт некоторую неопределенность в процессах, связанных с автоэлектронной эмиссией.

В заключение автор считает приятным долгом выразить свою признательность А.В.Киселеву и О.Н.Брежневу за полезные обсуждения.

Л и т е р а т у р а

1. R. Hawley Vacuum v.10 № 4 (1960)
 2. A. Maitland J. of Appl. Phys v.32 № 11 (1961)
 3. И.Н.Сливков, В.Н.Михайлов и др. Электрический пробой и разряд в вакууме, Атомиздат, 1966.
 4. И.Н.Сливков, ЖТФ 36, 342 (1966).
 5. Dyke J.of Appl. Phys. v. 31, p792 (1960)
 6. S.G.Christov Phys. stat. solidi
17, 11 (1966).
 7. А.Ф.Махов, Ф.Т.Т. 2, в.9 (1960).
 8. Smith, Elliott S68 RPP/14
 9. И.Н.Мешков, Б.В.Чириков, ЖТФ 35, в.12.
 10. А.А.Авдиенко, А.В.Киселёв. Временные характеристики вакуумного пробоя, в печати.
 11. Ю.М.Волков. Влияние материала электродов на электрическую прочность малых (до 2 мм) вакуумных промежутков.
Отчёт 182 ИЯФ СО АН СССР, 1958 г.

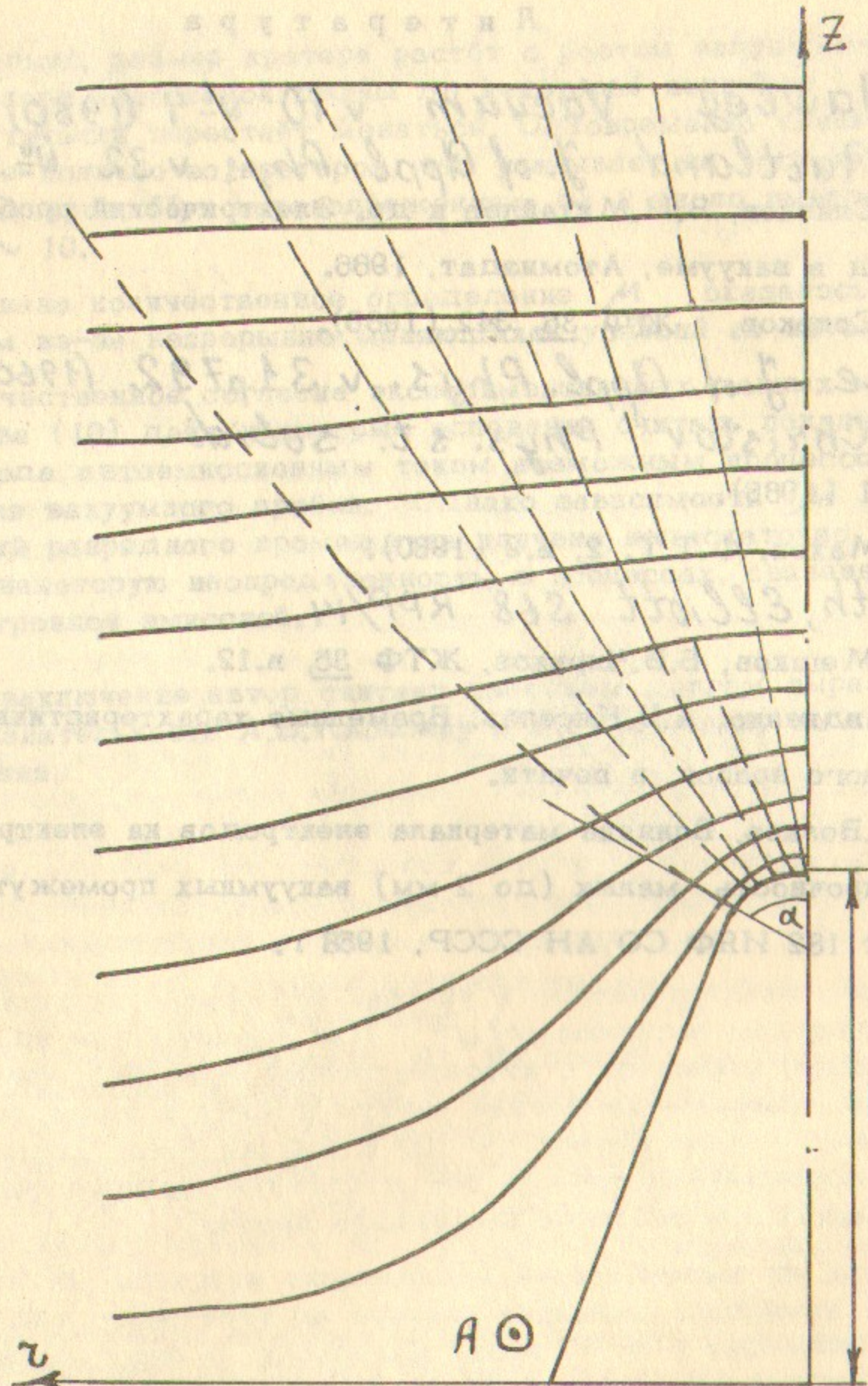


Рис.1. Потенциальная картина вблизи острия на катоде и траектории электронов.

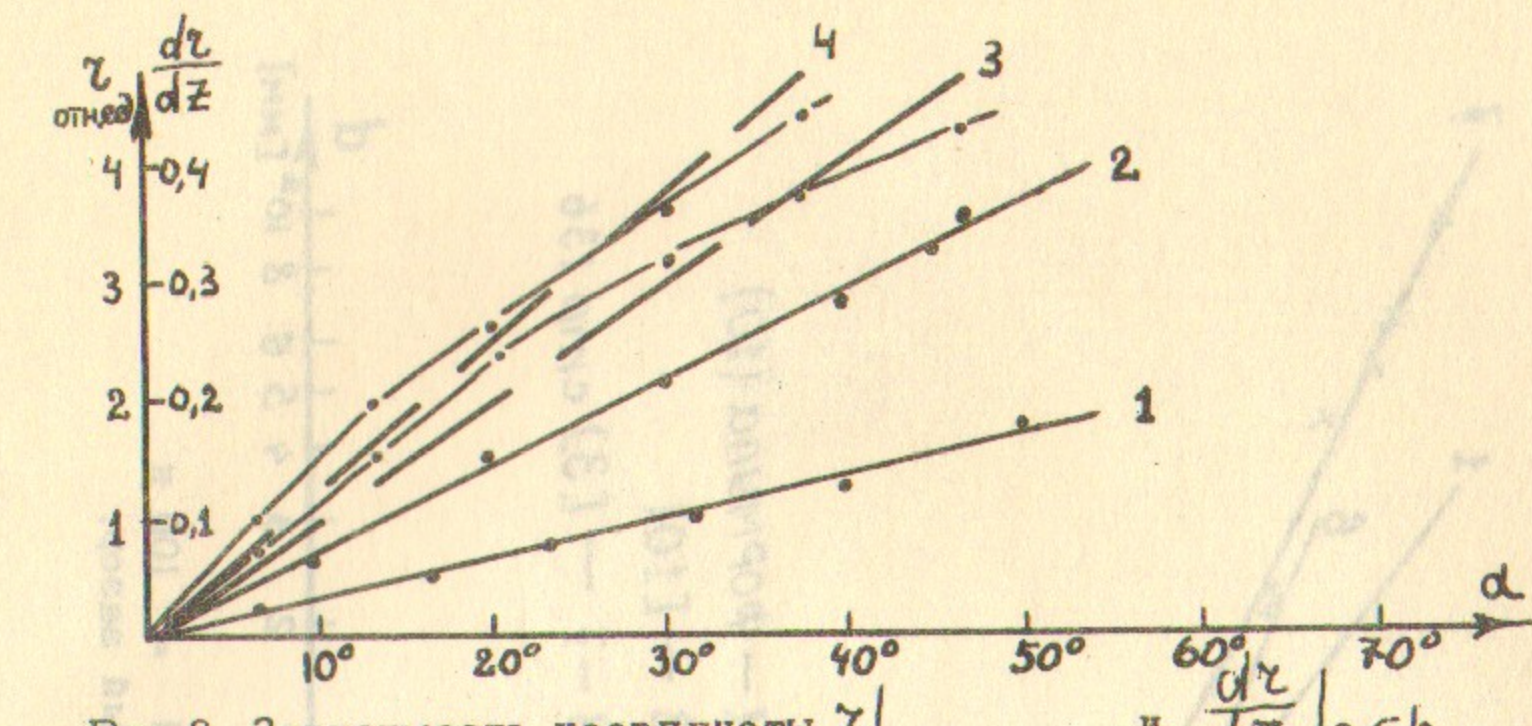


Рис.2. Зависимость координаты $\gamma|_{2.5h}$ и $\frac{d\gamma}{dz}|_{2.5h}$ для электронов при влете в область однородного поля от угла вылета из острия

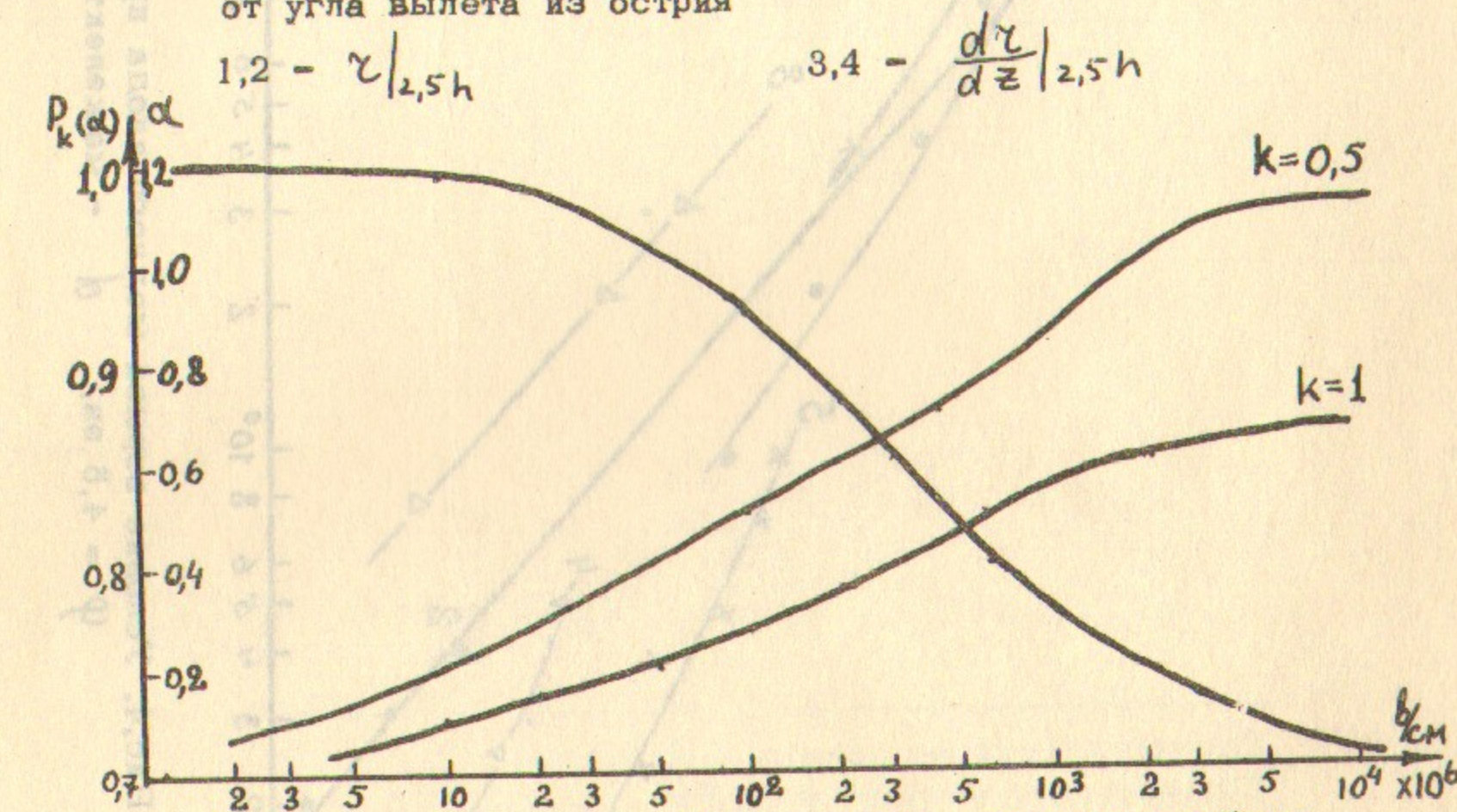


Рис.3. Зависимость радиуса области анода, эффективно бомбардируемой электронами, от напряжённости поля.

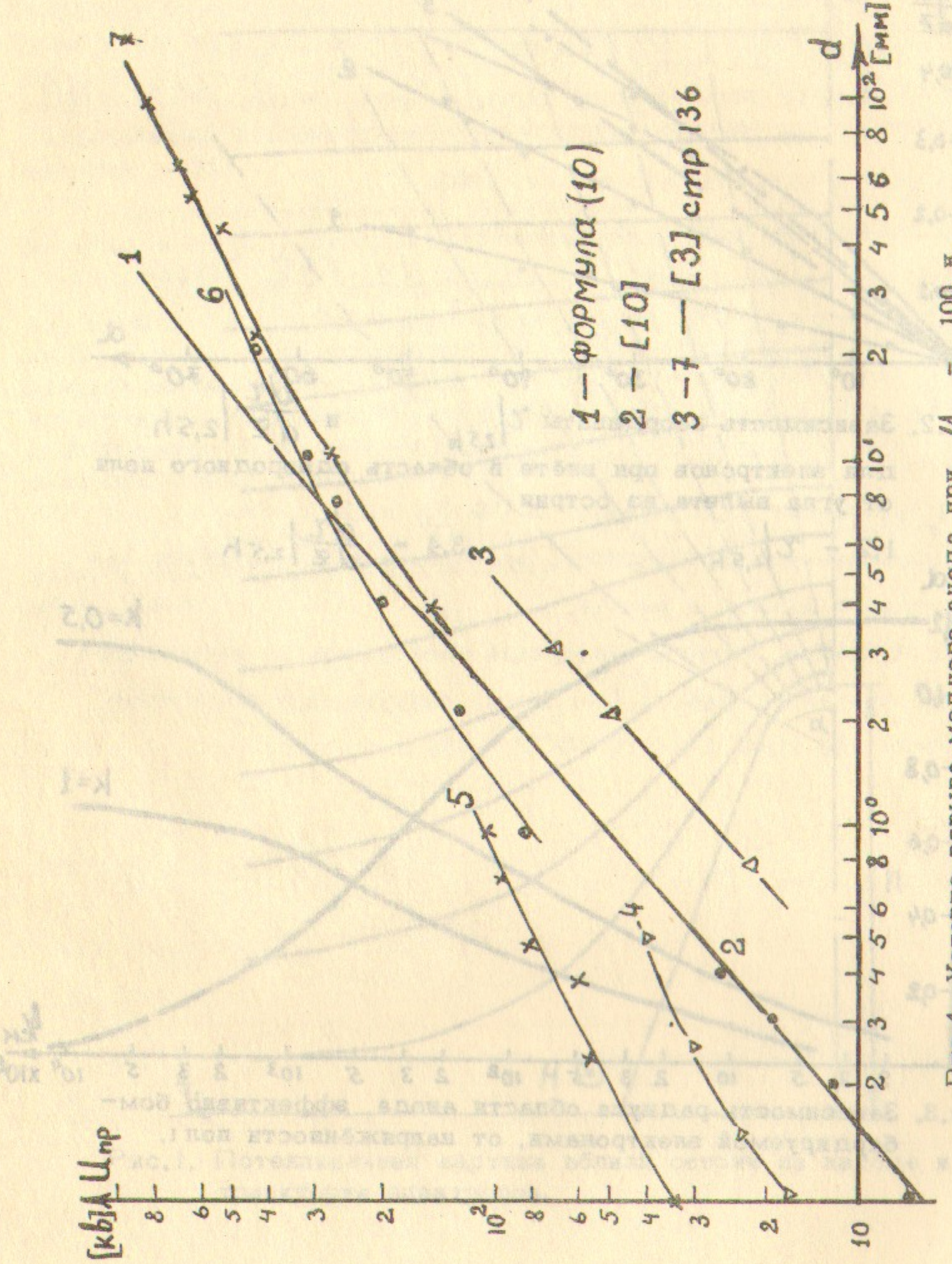


Рис.4. Условие варыма медного анода при $M = 100$ и
 $\varphi = 4,5$ эв. d — межэлектродный зазор.

Ответственный за выпуск А.А.Авдиенко
Подписано к печати 4.1.70
Усл. 96 печ.л., тираж 150 экз.
Заказ № 355 . Бесплатно.

Отпечатано на ротапринте в ИЯФ СО АН СССР. нв.